

ВТОРОЕ ЗАДАНИЕ ПО КУРСУ «АНАЛИТИЧЕСКАЯ МЕХАНИКА»

Автор: Хоружий Кирилл

От: 30 ноября 2020 г.

Содержание

1	Динамика II	2
1.8	Геометрия масс	2
1.9	Динамика твёрдого тела	4
2	Аналитическая механика	8
2.10	Уравнения Лагранжа	8
2.11	Принцип Гамильтона-Остроградского	13
2.12	Равновесие. Принцип виртуальных перемещений.	16
2.13	Устойчивость равновесия консервативных систем.	18

1 Динамика II

1.8 Геометрия масс

11.8(7)

Запишем тензор квадрата расстояния

$$\tilde{r}_i^T \tilde{r}_i = \begin{pmatrix} y_i^2 + z_i^2 & -x_i y_i & -x_i z_i \\ -x_i y_i & x_i^2 + y_i^2 & -y_i z_i \\ -x_i z_i & -y_i z_i & x_i^2 + y_i^2 \end{pmatrix} = \hat{j}_i, \quad (1.1)$$

суммируя, получим

$$\hat{J}_0 = \begin{pmatrix} J_x & -J_{xy} & -J_{xz} \\ -J_{xy} & J_y & -J_{yz} \\ -J_{xz} & -J_{yz} & J_z \end{pmatrix}. \quad (1.2)$$

В силу симметрии системы $J_x = J_y = J_z$, выбрав сферические координаты найдём J_z :

$$J_z = \int_M (y^2 + x^2) dm = \rho \int_V (y^2 + x^2) dV = \rho \int_0^R \int_0^{2\pi} \int_0^{\pi/2} r^4 \sin^3 \theta dr d\varphi d\theta = \frac{2}{5} R^5 \frac{1}{R^2} \left(\frac{4}{3} R^3 \rho \pi \right) = \frac{2}{5} M R^2. \quad (1.3)$$

11.12

Тензор инерции твердого тела в базисе $(\mathbf{e}_1, \mathbf{e}_2, \mathbf{e}_3)$ имеет такой вид

$$\hat{J} = \begin{pmatrix} A & 0 & 0 \\ 0 & B & -D \\ 0 & -D & C \end{pmatrix}, \quad D \neq 0.$$

Хотелось бы его к диагональному виду привести. Повернем оси вокруг оси Ox на некоторый угол α и приведём к диагональному виду

$$S^T \hat{J} S = \begin{pmatrix} A' & 0 & 0 \\ 0 & B' & 0 \\ 0 & 0 & C' \end{pmatrix}, \quad S = \begin{pmatrix} 1 & 0 & 0 \\ 0 & \cos \alpha & \sin \alpha \\ 0 & -\sin \alpha & \cos \alpha \end{pmatrix}.$$

После нескольких монотонных операций (ограничив все на плоскость Oxy) получаем

$$S^T J S \Big|_{Oyz} = \begin{pmatrix} B \cos^2 \alpha + C \sin^2 \alpha + D \sin 2\alpha & B \sin 2\alpha/2 - C \sin 2\alpha/2 - D \cos 2\alpha \\ B \sin 2\alpha/2 - C \sin 2\alpha/2 - D \cos 2\alpha & B \cos^2 \alpha + C \cos^2 \alpha - D \sin 2\alpha \end{pmatrix},$$

откуда находим α

$$\cos 2\alpha = \frac{B - C}{\sqrt{4D^2 + (B - C)^2}}$$

и, соответственно,

$$A' = A, \quad B' = \frac{1}{2} \left(B + C + \sqrt{(B - C)^2 + 4D^2} \right), \quad C' = \frac{1}{2} \left(B + C - \sqrt{(B - C)^2 + 4D^2} \right). \quad (1.4)$$

Направляющие же векторы найдём, повернув базисные векторы,

$$S \begin{pmatrix} \mathbf{e}_2 \\ \mathbf{e}_3 \end{pmatrix} = \begin{pmatrix} \mathbf{e}'_2 \\ \mathbf{e}'_3 \end{pmatrix}, \quad \Rightarrow \quad \begin{cases} \mathbf{e}'_2 = (\mathbf{e}_2 + \operatorname{tg} \alpha \mathbf{e}_3)/n_2, \\ \mathbf{e}'_3 = (-\operatorname{tg} \alpha \mathbf{e}_2 + \mathbf{e}_3)/n_3 \end{cases}$$

Возвращаясь в трёхмерие наш новый базис (который остается отнормировать)

$$\mathbf{e}'_1 = (1, 0, 0), \quad \mathbf{e}'_2 = (0, D, (B' - B)), \quad \mathbf{e}'_3 = (0, C' - C, D). \quad (1.5)$$

11.18

Поместим начало координат в центр масс (потому что так привычнее считать) и найдём тензор инерции по (1.1) и (1.2), аналогично (1.3), несколько раз проинтегрировав по параллелепипеду

$$J_z = \rho \int_V (x^2 + y^2) dV = \rho \int_{-a/2}^{a/2} dx \int_{-b/2}^{b/2} dy \int_{-c/2}^{c/2} dz (x^2 + y^2) = \frac{1}{12} m (a^2 + b^2),$$

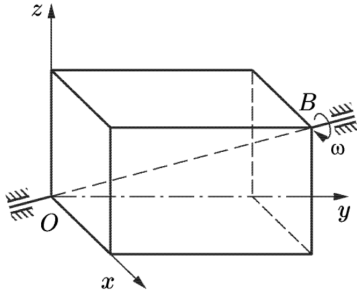


Рис. 1: К задаче 11.18

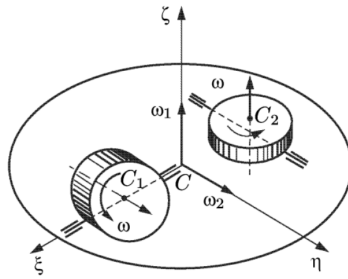


Рис. 2: К задаче 11.27

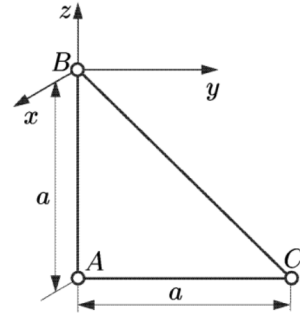


Рис. 3: К задаче 11.27

аналогичные результаты получим для J_y, J_x

$$J_y = \dots = \frac{1}{12}m(a^2 + c^2), \quad J_x = \dots = \frac{1}{12}m(b^2 + c^2).$$

Остается найти осевые моменты инерции

$$J_{xy} = \rho \int_V xy dV = \rho \frac{1}{16}a^2b^2c^2 = \frac{1}{16}mab, \quad J_{yz} = \dots = \frac{1}{16}mbc, \quad J_{xz} = \dots = \frac{1}{16}mac.$$

Таким образом

$$\hat{J}_O = \frac{1}{48}m \begin{pmatrix} 4(b^2 + c^2) & -3ab & -3ac \\ -3ab & 4(a^2 + c^2) & -3bc \\ -3ac & -3bc & 4(a^2 + b^2) \end{pmatrix}. \quad (1.6)$$

Кинетический момент найдём по определению, как

$$\mathbf{K}_O = \hat{J}_O \boldsymbol{\omega}, \quad \mathbf{K}_A = \hat{J}_A \boldsymbol{\omega},$$

где $\boldsymbol{\omega}$ и \hat{J}_A

$$\hat{J}_A = \hat{J} + m\hat{J}_{OA}, \quad \boldsymbol{\omega} = \frac{\omega}{\sqrt{a^2 + b^2 + c^2}} (a, b, c)^T$$

Заметим что \hat{J}_{OA} будет аналогичен (1.1), тогда осталось найти \mathbf{K}_O :

$$\mathbf{K}_O = \hat{J}_O \boldsymbol{\omega} = \frac{\omega m}{48\sqrt{a^2 + b^2 + c^2}} \begin{pmatrix} a(b^2 + c^2) \\ b(a^2 + c^2) \\ c(a^2 + b^2) \end{pmatrix}.$$

11.27

Проинтегрировав как в задачах 11.18 и 11.8(7) найдём, что относительно центра масс тензор инерции \hat{J}_O диска в главных осях имеет вид

$$\hat{J}_C = \frac{1}{4}mR^2 \begin{pmatrix} 1 & 0 & 0 \\ 0 & 1 & 0 \\ 0 & 0 & 2 \end{pmatrix}. \quad (1.7)$$

Кинетическая энергия тела может быть найдена, как

$$T = \frac{1}{2}\boldsymbol{\omega}^T \hat{J}_O \boldsymbol{\omega} + \frac{1}{2}mv_O^2.$$

Запишем T для случая $\boldsymbol{\omega}_1 \parallel Oz$, как сумму вращательной и поступательной энергии для двух дисков.

Поступательные, в силу геометрии системы, у дисков равны, первый диск вращается с угловой скоростью $\boldsymbol{\omega}_{D1} = (0, 0, \omega + \omega_1)$, а второй с $\boldsymbol{\omega}_{D2} = (0, \omega, \omega_1)$. Тензор инерции для второго диска аналогичен (1.7), только с 2 по оси Oy . Собирая всё вместе

$$T = 2 \times \frac{1}{2}m\omega_1^2 a^2 + \underbrace{\frac{1}{4}mR^2(\omega + \omega_1)^2}_{\vec{\omega}_{D1}^T \hat{J}_{O,D1} \vec{\omega}_{D1}} + \underbrace{\frac{1}{8}mR^2\omega_1^2 + \frac{1}{4}mR^2\omega^2}_{\vec{\omega}_{D2}^T \hat{J}_{O,D2} \vec{\omega}_{D2}} = \frac{1}{2}mR^2\omega^2 + \left(a^2 + \frac{3}{8}R^2\right)\omega_1^2 + \frac{1}{2}mR^2\omega\omega_1.$$

Также заметим, что вопросы задачи симметричны с точностью до замены дисков, что упрощает нам дело в

плане поиска и записи ответа:

$$T_i = \frac{1}{2}mR^2\omega^2 + \left(a^2 + \frac{3}{8}R^2\right)\omega_i^2 + \frac{1}{2}mR^2\omega\omega_i, \quad i = 1, 2. \quad (1.8)$$

11.92

Найдём тензор инерции для точки B по (1.2):

$$\hat{J}_B = ma^2 \begin{pmatrix} 3 & 0 & 0 \\ 0 & 2 & 1 \\ 0 & 1 & 1 \end{pmatrix}.$$

Вспоминая результаты задачи №11.12, где подобное приведение к главным осям решено в общем виде, находим

$$B' = \frac{1}{2}(3 + \sqrt{5}), \quad C' = \frac{1}{2}(3 - \sqrt{5}).$$

Главные оси же параллельны векторам

$$\mathbf{e}'_1 = (1, 0, 0), \quad \mathbf{e}'_2 = (0, -2, \sqrt{5} - 1), \quad \mathbf{e}'_3 = (0, 1 - \sqrt{5}, -2).$$

Отнормировав которые найдём новый базис.

Тензор инерции точки A и эллипсоид инерции, соответственно, равны

$$\hat{J}_A = ma^2 \begin{pmatrix} 2 & 0 & 0 \\ 0 & 1 & 0 \\ 0 & 0 & 1 \end{pmatrix}, \quad M = \{2x^2 + y^2 + z^2 = 1\},$$

где M , как можно заметить, является эллипсоидом инерции ($J_y = J_z$).

1.9 Динамика твёрдого тела

11.45

Твердое тело с неподвижной точкой движется под действием момента

$$\mathbf{M}_O = \mathbf{a} \times \boldsymbol{\omega},$$

где вектор \mathbf{a} вращается вместе с твёрдым телом. Хотим перейти к динамическим уравнениям Эйлера, так что

$$\hat{J}_O = \begin{pmatrix} A & 0 & 0 \\ 0 & B & 0 \\ 0 & 0 & C \end{pmatrix}, \quad \boldsymbol{\omega} = \begin{pmatrix} p \\ q \\ r \end{pmatrix}, \quad \mathbf{a} = \begin{pmatrix} a_\xi \\ a_\eta \\ a_\zeta \end{pmatrix}, \quad \mathbf{M}_O = \begin{pmatrix} a_\eta r - a_\zeta q \\ a_\zeta p - a_\xi r \\ a_\xi r - a_\eta p \end{pmatrix}.$$

Для начала попробуем в лоб, домножив динамические уравнения эйлера на p, q, r соответственно

$$\begin{cases} A\dot{p} + (C - B)qr = -M_\xi \\ B\dot{q} + (A - C)pr = -M_\eta \\ C\dot{r} + (B - A)pq = -M_\zeta \end{cases} \Rightarrow A\dot{p}p + B\dot{q}q + C\dot{r}r = 0.$$

Не густо.

Пойдём в чуть более низкоуровневую запись

$$\frac{d\mathbf{K}_O}{dt} = \dot{\mathbf{K}}_{O_i}\mathbf{e}_i + \boldsymbol{\omega} \times \mathbf{K}_O = \mathbf{a} \times \boldsymbol{\omega}.$$

Т.к. $\dot{\mathbf{a}}_i\mathbf{e}_i = 0$, то

$$(\dot{\mathbf{K}}_{O_i} + \dot{\mathbf{a}}_i)\mathbf{e}_i + \boldsymbol{\omega} \times (\mathbf{K}_O + \mathbf{a}) = 0 \Rightarrow \frac{d}{dt}(\mathbf{K}_O + \mathbf{a}) = 0 \Rightarrow \boxed{\mathbf{K}_O + \mathbf{a} = \text{const}} - \text{первый I интеграл.}$$

Теперь, т.к. $\boldsymbol{\omega} \perp \mathbf{M}_O$ предположим, что $T = \text{const}$. Действительно

$$dT = \partial A = \cancel{(\mathbf{B} \cdot \mathbf{v}_O)} dt + \cancel{(\mathbf{M})_O \cdot \boldsymbol{\omega}} dt = 0 \Rightarrow \boxed{T = \text{const}} - \text{второй I интеграл.}$$

11.59

Есть твёрдое тело в отсутствие внешних сил с $\mathbf{K}_O = \text{const}$ и $A = B \neq C$. Выберем в качестве оси динамической симметрии ось $O\xi$. Запишем динамические уравнения Эйлера

$$\begin{cases} A\dot{p} + (C - A)qr = 0 \\ A\dot{q} - (C - A)pr = 0 \\ C\dot{r} = 0 \end{cases} \Rightarrow \begin{cases} C\dot{r} = 0, & Cr_0 = K_O \cos \theta = \text{const} \end{cases} \Rightarrow \begin{cases} r(t) = r_0 = \text{const} \\ \theta(t) = \theta = \text{const} \end{cases}$$

Посмотрим теперь на $\|\mathbf{K}_O\|$

$$K_O^2 = A^2(p^2 + q^2) + (K_O \cos \theta)^2 \Rightarrow p^2 + q^2 = \left(\frac{K_O \sin \theta}{A} \right)^2.$$

Теперь посмотрим на ω

$$\omega = \dot{\varphi} + \dot{\psi} + \dot{\theta},$$

проецируя всё на базис $O\xi\eta\zeta$ находим, что

$$\begin{cases} r = \dot{\varphi} + \dot{\psi} \cos \theta \\ \sqrt{p^2 + q^2} = \dot{\psi} \sin \theta \end{cases} \Rightarrow \begin{cases} \dot{\psi} = K_O/A = \text{const} \\ \dot{\varphi} = r_0(1 - C/A) = \text{const} \end{cases}$$

Теперь мы готовы записать *параметры регулярной прецессии в случае Эйлера*:

$$\cos \theta = \frac{Cr_0}{K_O}, \quad \dot{\psi} = \frac{K_O}{A}, \quad \dot{\varphi} = r_0 \left(1 - \frac{C}{A} \right), \quad K_O = \sqrt{C^2 r_0^2 + A^2 (\omega_0^2 - r_0^2)}. \quad (1.9)$$

11.63

Для начала поймём куда диск движется, точнее найдем (или хотя бы сделаем шаги в эту сторону) мгновенную ось вращения проходящую через точку A и некоторую точку C .

Для начала посмотрим на геометрию системы (введя неизвестные a, b, c):

$$\overrightarrow{AB} = \begin{pmatrix} -r \\ -r \\ 0 \end{pmatrix}, \quad \overrightarrow{AD} = \begin{pmatrix} r \\ -r \\ 0 \end{pmatrix}, \quad \overrightarrow{CA} = \begin{pmatrix} a \\ b \\ c \end{pmatrix}, \quad \begin{cases} \mathbf{v}_A = \omega \times \overrightarrow{CA} = 0 \\ \mathbf{v}_B = \omega \times \overrightarrow{CB} \\ \mathbf{v}_A = \omega \times \overrightarrow{CD} \end{cases}, \quad \begin{cases} \overrightarrow{CD} = \overrightarrow{CB} + \overrightarrow{BD} \\ \overrightarrow{CD} = \overrightarrow{CA} + \overrightarrow{AD} \\ \overrightarrow{CB} = \overrightarrow{CA} + \overrightarrow{AB} \end{cases}$$

Для удобства далее будем считать $\omega = k\overrightarrow{CA}$. Посчитаем векторы скоростей в наших обозначениях

$$\mathbf{v}_D = kr \begin{pmatrix} c \\ c \\ -b-a \end{pmatrix}, \quad \mathbf{v}_B = k\overrightarrow{CA} \times \overrightarrow{AB} = kr \begin{pmatrix} c \\ -c \\ b-a \end{pmatrix} \Rightarrow a = b$$

Так как мы знаем абсолютные значения скоростей точек, то запишем

$$v_D^2 - v_B^2 = v_0^2 = 4a^2 k^2 \Rightarrow a = \frac{v_0}{2rk}.$$

Подставив теперь значения a в v_B^2 получим

$$v_B^2 = 2k^2 c^2 r^2 = v_0^2 \Rightarrow c = \frac{v_0 \sqrt{2}}{2kr}, \Rightarrow \omega = k \begin{pmatrix} a \\ b \\ c \end{pmatrix} = \frac{v_0}{2r} \begin{pmatrix} 1 \\ 1 \\ \sqrt{2} \end{pmatrix}$$

Теперь найдём скорость центра масс

$$\mathbf{v}_O = \omega \times \mathbf{r}_{CO} = \omega \times (\mathbf{r}_{CA} + \overrightarrow{AO}) = \omega \times \begin{pmatrix} 0 \\ -r \\ 0 \end{pmatrix} = \frac{v_0}{2} \begin{pmatrix} -\sqrt{2} \\ 0 \\ 1 \end{pmatrix}, \Rightarrow \mathbf{r}_O(t) = \begin{pmatrix} v_0 t / \sqrt{2} \\ 0 \\ -gt^2/2 + v_0 t/2 \end{pmatrix}.$$

Теперь мы знаем как будет двигаться в условиях гравитации наш диск (его центр масс)!

Теперь посмотрим на вращение диска относительно центра масс. Для этого пересядем в СО падающую с \mathbf{g} , теперь $\mathbf{M}_O = \mathbf{0}$ и мы пришли к случаю Эйлера (который подробно был рассмотрен в задаче №11.59).

Для начала вспомним, что для диска кинетический момент

$$\mathbf{K}_O = \hat{J}_O \omega = \frac{mr^2}{4} \begin{pmatrix} 1 & 0 & 0 \\ 0 & 1 & 0 \\ 0 & 0 & 2 \end{pmatrix} \begin{pmatrix} 1 \\ 1 \\ \sqrt{2} \end{pmatrix} \frac{v_0}{2r} = \frac{mr v_0}{8} \begin{pmatrix} 1 \\ 1 \\ 2\sqrt{2} \end{pmatrix} = \text{const}, \Rightarrow K_O = \frac{\sqrt{10}}{8} mrv_0.$$

Зная K_O можем найти ось прецессии $e \parallel K_O$

$$e = \frac{1}{\sqrt{10}} (1, 1, 2\sqrt{2}).$$

Подставляя параметры системы в уравнения (1.9), найдём

$$\dot{\psi} = \frac{K_O}{A} = \frac{\sqrt{10} v_0}{2 r}, \quad \dot{\varphi} = r_0 \left(1 - \frac{C}{A}\right) = -\frac{v_0 \sqrt{2}}{2r}, \quad \cos \theta = \frac{C r_0}{K_O} = \frac{2\sqrt{5}}{5}.$$

11.72

Решим чуть более общую задачу о движении тяжелого симметричного волчка с неподвижной нижней точкой. Начало координат O совпадает с неподвижной точкой волчка, расстояние до центра масс равно l .

Запишем кинематические и динамические уравнения Эйлера

$$\begin{cases} p = \dot{\varphi} \sin \theta \sin \psi + \dot{\theta} \cos \psi, \\ q = \dot{\varphi} \sin \theta \cos \psi - \dot{\theta} \sin \psi, \\ r = \dot{\varphi} \cos \theta + \dot{\psi}. \end{cases} \quad \begin{cases} I_1 \dot{p} + (I_3 - I_2)qr = -M_\xi \\ I_2 \dot{q} + (I_1 - I_3)pr = -M_\eta \\ I_3 \dot{r} + (I_2 - I_1)pq = -M_\zeta \end{cases} \quad \hat{J}_O = \begin{pmatrix} I_1 & 0 & 0 \\ 0 & I_1 & 0 \\ 0 & 0 & I_3 \end{pmatrix}, \quad \omega = \begin{pmatrix} p \\ q \\ r \end{pmatrix}.$$

Кинетическая энергия волчка (с учетом параллельного переноса тензора инерции с центра масс к точке O)

$$T = \omega^T \hat{J}_O \omega = \frac{I_1 + ml^2}{2} (\dot{\theta}^2 + \dot{\varphi}^2 \sin^2 \theta) + \frac{1}{2} I_3 (\dot{\psi} + \dot{\varphi} \cos \theta)^2.$$

Потенциальная энергия, соответственно, равна

$$\Pi = mgl \cos \theta.$$

Собирая вместе, находим

$$L = T - \Pi.$$

Понятно, что $K_z = \text{const}$, докажем также что $K_z = \text{const}$. Действительно,

$$\frac{dK_z}{dt} = \mathbf{M}_A \Big|_Z + \mathbf{Q} \times \mathbf{r}_O = 0 \quad \Rightarrow \quad K_z = \text{const}.$$

Явно выпишем их

$$\begin{cases} K_z = \partial L / \partial \dot{\psi} = I_3 (\dot{\psi} + \dot{\varphi} \cos \theta) \\ K_z = \partial L / \partial \dot{\varphi} = ((I_1 + ml^2) \sin^2 \theta + I_3 \cos^2 \theta) \dot{\varphi} + I_3 \dot{\psi} \cos \theta. \end{cases} \quad (1.10)$$

Кроме того, в системе сохраняется энергия

$$E = T + \Pi = \frac{1}{2} (I_1 + ml^2) (\dot{\theta}^2 + \dot{\varphi}^2 \sin^2 \theta) + \frac{1}{2} I_3 (\dot{\psi} + \dot{\varphi} \cos \theta)^2 + mgl \cos \theta.$$

Из (1.10) находим явные выражения для $\dot{\varphi}$ и $\dot{\theta}$

$$\begin{aligned} \dot{\varphi} &= \frac{K_z - K_3 \cos \theta}{(I_1 + ml^2) \sin^2 \theta}, \\ \dot{\psi} &= \frac{K_3}{I_3} - \cos \theta \frac{K_z - K_3 \cos \theta}{(I_1 + ml^2) \sin^2 \theta}. \end{aligned}$$

Подставляя это в выражения для энергии E получим

$$E = \frac{1}{2} (I_1 + ml^2) \dot{\theta}^2 + \frac{(K_z - K_3 \cos \theta)^2}{2(I_1 + ml^2) \sin^2 \theta} + \frac{K_3^2}{2I_3} + mgl \cos \theta. \quad (1.11)$$

Таким образом мы находим

$$\dot{\theta} = \frac{d\theta}{dt} = f_\theta(E, K_z, K_3) \quad \Rightarrow \quad t = \int_{\theta_0}^{\theta} \frac{d\theta}{f_\theta(E, K_z, K_3)}, \quad (1.12)$$

что и является нашим искомым решением в квадратурах. Конкретно для №11.72 следует положить $I_3 = 0$ и, в силу доступного для стержня произволя, $\dot{\psi} = 0$. Слагаемые вида K_3/I_3 в таком случае просто не возникнут, решение сохранится.

11.118

Как и в решение к №11.72 у нас симметричный волчок. Требуется определить начальную угловую скорость прецессии $\dot{\varphi}_0$, чтобы $\dot{\theta} = 0$. Формально можем поставить задачу несколько иначе, какой должен быть момент

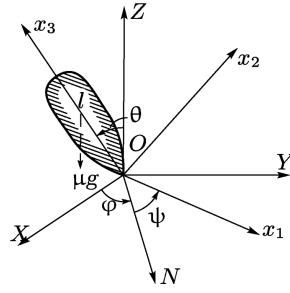


Рис. 4: К задаче 11.72

внешних сил \mathbf{M}_O чтобы происходила регулярная прецессия $\dot{\theta} = 0$?

Для начала введём отдельно $\boldsymbol{\omega}_1 \parallel O\xi$ и $\boldsymbol{\omega}_2 \parallel OZ$. По раннее проделанной работе с регулярной прецессией, мы знаем, что K_z и K_3 постоянны, соответственно $\omega_1, \omega_2, \omega = \text{const}$. Аналогично случаю Эйлера (см. №???)

$$(K_O)_\xi = Cr, \quad (K_O)_Z = A\sqrt{q^2 + q^2}.$$

То есть $\mathbf{K}_O \in O\xi Z$ и $K_O = \text{const}$. Но, т.к. плоскость $O\xi Z$ вращается с угловой скоростью $\boldsymbol{\omega}_2$ то и вектор \mathbf{K}_O аналогично. Тогда для \mathbf{M}_O верно, что

$$\frac{d\mathbf{K}_O}{dt} = \boldsymbol{\omega}_2 \times \mathbf{K}_O = \mathbf{M}_O. \quad (1.13)$$

Нетрудно показать, что

$$\boldsymbol{\omega}_2 \times \mathbf{K}_O = \frac{\boldsymbol{\omega}_2 \times \boldsymbol{\omega}_1}{\|\boldsymbol{\omega}_2 \times \boldsymbol{\omega}_1\|} \omega_2 \sin \theta (C(\omega_1 + \omega_2 \cos \theta) - A\omega_2 \cos \theta)$$

Т.к. $\|\boldsymbol{\omega}_2 \times \boldsymbol{\omega}_1\| = \omega_1 \omega_2 \sin \theta$, то

$$\mathbf{M}_O = (\boldsymbol{\omega}_2 \times \boldsymbol{\omega}_1) \left[C + (C - A) \frac{\omega_2}{\omega_1} \cos \theta \right]. \quad (1.14)$$

Это *основная формула гироскопии*, так что, наверное, можно было принять её на веру. В частном случае, когда $\omega_1 \gg \omega_2$ можно приближенно записать эту формулу, как

$$\mathbf{M}_O = C(\boldsymbol{\omega}_2 \times \boldsymbol{\omega}_1). \quad (1.15)$$

Конкретно для нашей задачи (1.14) перепишется как

$$\dot{\varphi} \omega \sin \theta \left(C + (C - A) \frac{\dot{\varphi}}{\omega} \cos \theta \right) = mgl \sin \theta,$$

т.к. мы действительно требуем регулярной прецессии. Так получаем квадратное уравнение вида

$$(C - A)\dot{\varphi}^2 \cos \theta + C\omega\dot{\varphi} - mgl = 0 \quad \Rightarrow \quad \dot{\varphi} = \frac{-C\omega \pm \sqrt{C^2\omega^2 + (C - A)mgl \cos \theta}}{2(C - A) \cos \theta}. \quad (1.16)$$

Стоит заметить, что при $C^2\omega^2 + (C - A)mgl \cos \theta < 0$ регулярная прецессия, по всей видимости, невозможна. При $\omega \gg \dot{\varphi}$ угловая прецессия будет равна

$$\dot{\varphi} = \frac{mgl}{C\omega}, \quad (1.17)$$

и, как видно, не зависит от угла нутации.

Теперь про силы. Запишем II закон Ньютона в проекции на вертикаль и нормаль к вертикали, повернутую на $+\varphi$ от X , получим

$$\begin{cases} N_x = m\dot{\varphi}^2 l \sin \theta \\ N_y - mg = 0 \end{cases} \quad \Rightarrow \quad N = m\sqrt{g^2 + \dot{\varphi}^2 l^2 \sin^2 \theta}. \quad (1.18)$$

Т.16*

Запишем динамические уравнения Эйлера

$$\begin{cases} A\dot{p} + (C - B)qr = -M_\xi \\ B\dot{q} + (A - C)pr = -M_\eta \\ C\dot{r} + (B - A)pq = -M_\zeta \end{cases}, \quad \boldsymbol{\omega} = \begin{pmatrix} p \\ q \\ r \end{pmatrix}, \quad \hat{J}_O = \begin{pmatrix} A & 0 & 0 \\ 0 & B & 0 \\ 0 & 0 & C \end{pmatrix}. \quad (1.19)$$

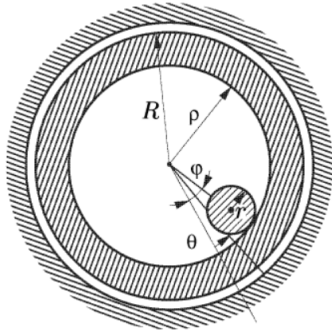


Рис. 5: К задаче 12.46

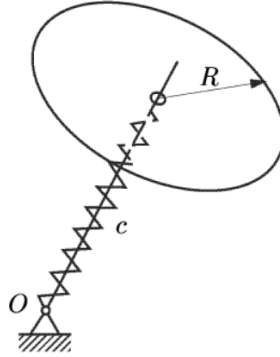


Рис. 6: К задаче 12.59

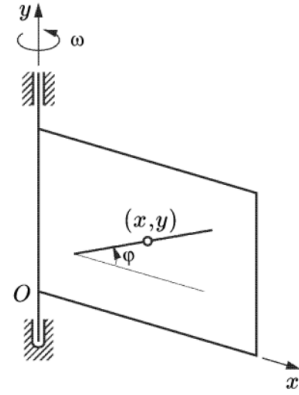


Рис. 7: К задаче 12.61

Тело вращается относительно закрепленного центра масс O . По условию

$$\mathbf{M}_O = -\gamma\boldsymbol{\omega}, \quad A = B > C.$$

Хочется доказать, что мгновенная ось вращения тела асимптотически стремится стать ортогональной оси динамической симметрии тела ($O\zeta$). Если чуть формализовать, то

$$\lim_{t \rightarrow \infty} \frac{\|\boldsymbol{\omega}^\zeta\|}{\|\boldsymbol{\omega}^{\xi\eta}\|} = \frac{r}{\sqrt{p^2 + q^2}} = 0, \quad (1.20)$$

равносильно поставленному условию.

Конкретизируем динамические уравнения Эйлера под наш случай:

$$A\dot{p} + (C - A)qr = -\gamma p \quad (1.21)$$

$$A\dot{q} - (C - A)pr = -\gamma q \quad (1.22)$$

$$C\dot{r} = -\gamma r \quad (1.23)$$

Из (1.23) найдём

$$r = \omega^\zeta = r_0 \exp\left(-\frac{\gamma}{C}t\right).$$

Теперь посмотрим на $p \cdot (1.21) + q \cdot (1.22)$ равное полному дифференциалу по времени

$$p\dot{p} + q\dot{q} = \frac{1}{2} \frac{d}{dt} (p^2 + q^2) = -\frac{\gamma}{A} (p^2 + q^2).$$

Естественно решить это уравнение относительно $\omega^{\xi\eta}$

$$\omega^{\xi\eta} = -\frac{\gamma}{A} \omega^{\xi\eta} \Rightarrow \sqrt{p^2 + q^2} = \omega^{\xi\eta} = \omega_0^{\xi\eta} \exp\left(-\frac{\gamma}{A}t\right).$$

Подставляя всё в (1.20) находим

$$\lim_{t \rightarrow \infty} \left[\frac{\omega^\zeta}{\omega^{\xi\eta}} \right] = \frac{r_0}{\omega_0^{\xi\eta}} \cdot \lim_{t \rightarrow \infty} \left[\exp\left(\frac{\gamma}{AC} \underbrace{(C - A)t}_{<0}\right) \right] = 0, \quad \text{Q. E. D.}$$

2 Аналитическая механика

2.10 Уравнения Лагранжа

12.6 (в)

Проверим, является ли интегрируемой связь

$$\dot{y} - z\dot{x} = 0.$$

В случае интегрируемости связи существовали бы запрещенные положения системы. Покажем же что в действительности мы можем попасть из любой точки в любую. В силу отсутствия ограничений на \dot{z} , мы свободно можем перемещаться вдоль оси z при $\dot{x}, \dot{y} = 0$. Пусть мы оказались в $z = 2$, тогда при движении

$$\square \dot{x} dt = \xi, \quad \dot{y} dt = 2\xi, \quad \Rightarrow \quad (0, 0, 2) \rightarrow (\xi, 2\xi, 2).$$

Теперь по $\dot{x}, \dot{y} = 0$ перейдём в $z = 1$, тогда

$$\square \dot{x} dt = -\xi, \quad \dot{y} dt = -\xi, \quad \Rightarrow \quad (\xi, 2\xi, 1) \longrightarrow (0, \xi, 1).$$

Собирая всё вместе,

$$(0, 0, 0) \xrightarrow{\vec{r}=(0,0,\neq 0)} (0, 0, 2) \xrightarrow{\vec{r}dt=(\xi, 2\xi, 2)} (\xi, 2\xi, 2) \xrightarrow{\vec{r}=(0,0,\neq 0)} (0, 0, 1) \xrightarrow{\vec{r}dt=(-\xi, -\xi, 1)} (0, \xi, 1) \xrightarrow{\vec{r}=(0,0,\neq 0)} (0, \xi, 0).$$

Получается допустимы перемещения из \mathbf{r}_1 в $\mathbf{r}_2 \forall \mathbf{r}_1, \mathbf{r}_2$, следовательно **связь не является интегрируемой**.

12.12

Найдём уравнения движения для двух материальных точек, массами m_1 и m_2 , притягивающихся по закону Ньютона. В качестве обобщенных координат выберем x, y, z центра масс системы, расстояние между точками r и углы φ, θ , определяющие направление прямой.

Потенциальная энергия системы Π

$$\Pi = -\gamma \frac{m_1 m_2}{r}.$$

Для каждого из тел можем записать расстояние до центра масс и абсолютное положение:

$$r_1 = \frac{m_2}{m_1 + m_2} r, \quad r_2 = \frac{m_1}{m_1 + m_2} r, \quad \begin{cases} x_1 = x + r_1 \sin \theta \cos \varphi, \\ y_1 = y + r_1 \sin \theta \sin \varphi, \\ z_1 = z + r_1 \cos \theta. \end{cases} \quad \begin{cases} x_2 = x + r_2 \sin \theta \cos \varphi, \\ y_2 = y + r_2 \sin \theta \sin \varphi, \\ z_2 = z + r_2 \cos \theta. \end{cases}$$

Вспомнив, что для сферических координат (r, θ, φ) метрический тензор $g_{ij} = \text{diag}(1, r^2, r^2 \sin^2 \theta)$, найдём квадрат относительной скорости

$$v_1^2(r_1) = g_{ij} \dot{q}^i \dot{q}^j = r_1^2 \sin^2 \theta \dot{\varphi}^2 + r_1^2 \dot{\theta}^2 + \dot{r}_1^2 \quad \Rightarrow \quad v_1^2(r_1) = \left(\frac{m_2}{m_1 + m_2} \right)^2 \cdot v_1^2(r).$$

Теперь можем записать кинетическую энергию движения (T_1, T_2 – кинетические энергии движения тел относительно центра масс) :

$$T_1 + T_2 + \frac{1}{2}(m_1 + m_2) \left(\frac{d}{dt}(x, y, z) \right)^2 = \frac{1}{2} \frac{m_1 m_2}{m_1 + m_2} \left(r^2 \sin^2 \theta \dot{\varphi}^2 + r^2 \dot{\theta}^2 + \dot{r}^2 \right) + \frac{1}{2}(m_1 + m_2) (\dot{x}^2 + \dot{y}^2 + \dot{z}^2).$$

И, наконец, лагранжиан системы

$$L = T - \Pi = \frac{1}{2} \frac{m_1 m_2}{m_1 + m_2} \left(r^2 \sin^2 \theta \dot{\varphi}^2 + r^2 \dot{\theta}^2 + \dot{r}^2 \right) + \frac{1}{2}(m_1 + m_2) (\dot{x}^2 + \dot{y}^2 + \dot{z}^2) + \gamma \frac{m_1 m_2}{r}. \quad (2.1)$$

Найдём уравнения движения системы относительно центра масс:

$$\begin{cases} \frac{d}{dt} \frac{\partial L}{\partial \dot{\varphi}} - \frac{\partial L}{\partial \varphi} = 0 \\ \frac{d}{dt} \frac{\partial L}{\partial \dot{r}} - \frac{\partial L}{\partial r} = 0 \\ \frac{d}{dt} \frac{\partial L}{\partial \dot{\theta}} - \frac{\partial L}{\partial \theta} = 0. \end{cases} \quad \Rightarrow \quad \begin{cases} \dot{\varphi} \left(r \dot{\theta} \sin(2\theta) + \dot{r} \dot{\varphi} (1 - \cos 2\theta) \right) + \frac{1}{2} r \ddot{\varphi} (1 - \cos 2\theta) = 0, \\ \gamma(m_1 + m_2) - r^3 \left(\sin^2 \theta \dot{\varphi}^2 + \dot{\theta}^2 \right) + r^2 \ddot{r} = 0, \\ 2\dot{\theta} \dot{r} + r \ddot{\theta} - \frac{1}{2} r \sin(2\theta) \dot{\varphi}^2 = 0. \end{cases} \quad (2.2)$$

И для центра масс:

$$\ddot{x} = 0, \quad \ddot{y} = 0, \quad \ddot{z} = 0. \quad (2.3)$$

Что логично, на центр масс не действует никаких сил.

Теперь к интегралам системы. Пусть $\frac{d}{dt}(x_1, y_1, z_1)^T = \mathbf{v}_1$, аналогично для второго тела. Во-первых сохраняется количество движения системы (x, y, z не входят явно в L), также не входят t, φ , тогда

$$\begin{cases} \frac{d}{dt} \frac{\partial L}{\partial \dot{x}} = 0 \\ \frac{d}{dt} \frac{\partial L}{\partial \dot{y}} = 0 \\ \frac{d}{dt} \frac{\partial L}{\partial \dot{z}} = 0 \\ L \neq L(t) \end{cases} \quad \Rightarrow \quad \begin{cases} m_1 \mathbf{v}_1 + m_2 \mathbf{v}_2 = \text{const}, \\ r^2 \dot{\varphi} \sin^2 \theta = \text{const}, \\ E = \Pi + T = \text{const}. \end{cases} \quad (2.4)$$

Вообще, в силу отсутствия внешних сил на систему, сохраняется кинетический момент,

$$\mathbf{K} = m_1 \mathbf{r}_1 \times \mathbf{v}_1 + m_2 \mathbf{r}_2 \times \mathbf{v}_2 = \text{const}. \quad (2.5)$$

12.29

Два однородных стержня длины l каждый образую плоский двойной маятник. Составим уравнения движения в форме Лагранжа.

Выберем начала координат в точке подвеса. Тогда координаты центра масс второго стержня

$$\begin{cases} x_2 = l \sin \varphi_1 + (l/2) \sin \varphi_2, \\ y_2 = l \cos \varphi_1 + (l/2) \cos \varphi_2. \end{cases}$$

Потенциальная энергия системы

$$\Pi = -mg \left(\frac{l}{2} \cos \varphi_1 \right) - mg \left(l \cos \varphi_1 + \frac{l}{2} \cos \varphi_2 \right).$$

Кинетическая энергия первого стержня

$$T_1 = \frac{1}{2} I_1 \dot{\varphi}_1^2 = \frac{l^2 m}{6} \dot{\varphi}_1^2.$$

Для второго стержня найдём кинетическую энергию, рассмотрев его вращение относительно центра масс:

$$T_2 = \frac{1}{2} m (\dot{x}_2^2 + \dot{y}_2^2) + \frac{1}{2} \frac{ml^2}{12} \dot{\varphi}_2^2.$$

Лагранжиан системы:

$$L = T - \Pi = ml^2 \left[\frac{g}{2l} (3 \sin \varphi_1 + \cos \varphi_2) + \frac{1}{2} \cos(\varphi_1 - \varphi_2) \dot{\varphi}_1 \dot{\varphi}_2 + \frac{2}{3} \dot{\varphi}_1^2 + \frac{1}{6} \dot{\varphi}_2^2 \right]. \quad (2.6)$$

Тогда уравнения движения системы

$$\begin{cases} \frac{d}{dt} \frac{\partial L}{\partial \dot{\varphi}_1} - \frac{\partial L}{\partial \varphi_1} = 0, \\ \frac{d}{dt} \frac{\partial L}{\partial \dot{\varphi}_2} - \frac{\partial L}{\partial \varphi_2} = 0. \end{cases} \Rightarrow \begin{cases} 9(g/l) \sin \varphi_1 + 3 \sin(\varphi_1 - \varphi_2) \dot{\varphi}_2^2 + 3 \cos(\varphi_1 - \varphi_2) \ddot{\varphi}_2 + 8 \ddot{\varphi}_1 = 0, \\ 3(g/l) \sin \varphi_2 - 3 \sin(\varphi_1 - \varphi_2) \dot{\varphi}_1^2 + 3 \cos(\varphi_1 - \varphi_2) \ddot{\varphi}_1 + 2 \ddot{\varphi}_2 = 0. \end{cases} \quad (2.7)$$

12.46

Составим уравнения движения в форме Лагранжа для системы, представленной на рис. 5. Для начала запишем потенциальную энергию системы, как

$$\Pi = -(\rho - r) \cos(\varphi + \theta).$$

Момент инерции полого цилиндра:

$$I_1 = \int_{\rho}^R \sigma r^2 dV \xrightarrow{dV = h 2\pi r dr} I_1 = 2\pi \sigma h \int_{\rho}^R r^3 dr = \frac{1}{2} (R^2 - \rho^2) (R^2 + \rho^2) \pi h \sigma = \frac{1}{2} M (R^2 + \rho^2).$$

Тогда его кинетическая энергия

$$T_1 = \frac{1}{4} M (R^2 + \rho^2) \dot{\theta}^2.$$

Скорость центра масс сплошного цилиндра:

$$v_2 = \dot{\varphi}(\rho - r).$$

Пусть цилиндр катится с угловой скоростью ω , тогда запишем условие того, что он не проскальзывает

$$(\rho - r) \dot{\varphi} = \rho \dot{\theta} + \omega r, \quad \Rightarrow \quad \omega = (\rho - r) \dot{\varphi} - \rho \dot{\theta}.$$

Тогда кинетическая энергия сплошного цилиндра

$$T_2 = \frac{1}{2} m \left(\dot{\varphi}(\rho - r) \right)^2 + \frac{1}{2} \left(\frac{1}{2} m r^2 \right) \omega^2.$$

Лагранжиан системы:

$$L = mg(\rho - r) \cos \varphi + m \left(\frac{1}{2} \dot{\varphi}^2 (\rho - r)^2 + \frac{1}{4} \left(\dot{\theta} \rho - \dot{\varphi}(\rho - r) \right)^2 \right) + \frac{1}{4} M (R^2 + \rho^2) \dot{\theta}^2. \quad (2.8)$$

Соответственно, уравнения движения системы

$$\begin{cases} \frac{d}{dt} \frac{\partial L}{\partial \dot{\varphi}} - \frac{\partial L}{\partial \varphi} = 0, \\ \frac{d}{dt} \frac{\partial L}{\partial \dot{\theta}} - \frac{\partial L}{\partial \theta} = 0. \end{cases} \Rightarrow \begin{cases} -\ddot{\theta} \rho + 3 \ddot{\varphi} (\rho - r) + 2g \sin(\varphi) = 0, \\ M \ddot{\theta} (R^2 + \rho^2) + \rho m \left(\ddot{\theta} \rho - \ddot{\varphi} (\rho - r) \right) = 0. \end{cases} \quad (2.9)$$

12.59

Составим уравнения движения в форме Лагранжа для системы, представленной на рис. 6. Для начала перейдём в сферические координаты:

$$\begin{cases} x = r \sin \theta \cos \varphi, \\ y = r \sin \theta \sin \varphi, \\ z = r \cos \theta. \end{cases}$$

Для начала запишем потенциальную энергию системы, как

$$\Pi = mgz + \frac{1}{2}k(r_0 - r)^2.$$

Как уже было показано в №12.12 скорость центра масс диска

$$v^2 = g_{ij}\dot{q}^i\dot{q}^j = r^2 \sin^2 \theta \dot{\varphi}^2 + r^2 \dot{\theta}^2 + \dot{r}^2.$$

Также запишем кинематические уравнения Эйлера и момент инерции диска:

$$\boldsymbol{\omega} \text{ в СО диска } \begin{pmatrix} \omega_1 \\ \omega_2 \\ \omega_3 \end{pmatrix}, \quad \begin{cases} \omega_1 = \dot{\psi} \sin \theta \sin \varphi + \dot{\theta} \cos \varphi, \\ \omega_2 = \dot{\psi} \sin \theta \cos \varphi - \dot{\theta} \sin \varphi, \\ \omega_3 = \dot{\psi} \cos \theta + \dot{\varphi}, \end{cases} \quad \hat{J} = \frac{mR^2}{4} \begin{pmatrix} 1 & 0 & 0 \\ 0 & 1 & 0 \\ 0 & 0 & 2 \end{pmatrix}.$$

Кинетическую энергию диска тогда найдём, как

$$T = \frac{1}{2}\boldsymbol{\omega}^T \hat{J} \boldsymbol{\omega} + \frac{1}{2}m \left(r^2 \sin^2 \theta \dot{\varphi}^2 + r^2 \dot{\theta}^2 + \dot{r}^2 \right).$$

Соответственно, лагранжиан системы:

$$\begin{aligned} L/m = & + \frac{1}{8}R^2 \left(\dot{\psi}^2 \cos^2 \theta + \dot{\psi}^2 + 4\dot{\psi}\dot{\varphi} \cos \theta + \dot{\theta}^2 + 2\dot{\varphi}^2 \right) + \\ & + \frac{1}{2}r^2 \left(\dot{\theta}^2 + \dot{\varphi}^2 \sin^2 \theta + \dot{r}^2 \right) - \\ & - gr \cos \theta - \frac{1}{2} \frac{k}{m} (r_0 - r)^2. \end{aligned} \quad (2.10)$$

Уравнения движения системы:

$$\frac{d}{dt} \frac{\partial L}{\partial \dot{\varphi}} - \frac{\partial L}{\partial \varphi} = 0, \quad \frac{d}{dt} \frac{\partial L}{\partial \dot{\theta}} - \frac{\partial L}{\partial \theta} = 0, \quad \frac{d}{dt} \frac{\partial L}{\partial \dot{\psi}} - \frac{\partial L}{\partial \psi} = 0, \quad \frac{d}{dt} \frac{\partial L}{\partial \dot{r}} - \frac{\partial L}{\partial r} = 0. \quad (2.11)$$

Подставляя L , получим уравнения движения в чуть менее элегантной форме:

$$\begin{aligned} R^2 \left(\ddot{\psi} \cos(\theta) + \ddot{\varphi} - \dot{\psi}\dot{\theta} \sin(\theta) \right) + 2\ddot{r}r^2 \sin^2(\theta) + 2\dot{\theta}\dot{\varphi}r^2 \sin(2\theta) + 4\dot{\varphi}\dot{r}r \sin^2(\theta) &= 0, \\ R^2 \ddot{\theta} + R^2 \dot{\psi} \left(\dot{\psi} \cos(\theta) + 2\dot{\varphi} \right) \sin(\theta) + 4\ddot{\theta}r^2 + 8\dot{\theta}\dot{r}r - 2\dot{\varphi}^2 r^2 \sin(2\theta) - 4gr \sin(\theta) &= 0, \\ \ddot{\psi} \cos^2(\theta) + \ddot{\psi} + 2\ddot{\varphi} \cos(\theta) - \dot{\psi}\dot{\theta} \sin(2\theta) - 2\dot{\theta}\dot{\varphi} \sin(\theta) &= 0, \\ 2\ddot{r}m + 2gm \cos(\theta) - 2k(-r + r_0) - 2mr \left(\dot{\theta}^2 + \dot{\varphi}^2 \sin^2(\theta) \right) &= 0. \end{aligned} \quad (2.12)$$

12.61

Составим уравнения движения в форме Лагранжа для системы, представленной на рис. 7. Хотелось бы найти уравнения относительного движения стержня в форме Лагранжа.

Потенциальная энергия стержня

$$\Pi = mgy.$$

Записав кинетическую энергию, рассматривая движение центра масс и вращение относительно него, найдём

$$L = T - \Pi = \frac{1}{2}m(\dot{y}^2 + \omega^2 x^2 + \dot{x}^2) + \frac{1}{12}ml^2(\dot{\varphi}^2 + \omega^2 \cos^2 \varphi) - mgy. \quad (2.13)$$

В угловой скорости появляется добавка $\omega \cos \varphi$ как проекции $\boldsymbol{\omega}$ на нормаль к стержню.

Уравнения движения системы найдём, как

$$\begin{cases} \frac{d}{dt} \frac{\partial L}{\partial \dot{x}} - \frac{\partial L}{\partial x} = 0, \\ \frac{d}{dt} \frac{\partial L}{\partial \dot{y}} - \frac{\partial L}{\partial y} = 0, \\ \frac{d}{dt} \frac{\partial L}{\partial \dot{\varphi}} - \frac{\partial L}{\partial \varphi} = 0. \end{cases} \Rightarrow \begin{cases} \ddot{x} = \omega^2 x, \\ \ddot{y} = g, \\ \ddot{\varphi} = -\omega^2 \sin(2\varphi)/2. \end{cases} \quad (2.14)$$

12.88

Пусть на диск действует сила реакции опоры \mathbf{N}_1 , на опору со стороны диска действует $\mathbf{N}_2 = -\mathbf{N}_1$. Связь по определению является идеальной, если

$$\delta A = \sum_i (\mathbf{N}_i \cdot \delta \mathbf{r}_i) = 0.$$

В рассматриваемой системе в проекцию на ось Oy $\delta r_1 = \delta r_2$. Тогда

$$OY: \quad \delta A = N_1 \delta r_1 + N_2 \delta r_2 = (N_1 - N_1) \delta r_1 = 0,$$

следовательно **связь является идеальной**.

12.73

Выберем начало координат в положение равновесия. Запишем второй закон Ньютона для системы:

$$m\ddot{x} = -cx - \beta v.$$

Формально, мы хотим найти такой $L(x, \dot{x}, t)$, что

$$\frac{d}{dt} \frac{\partial L}{\partial \dot{q}} - \frac{\partial L}{\partial q} = m\ddot{x} + \beta \dot{x} + cx = 0.$$

При отсутствии вязкого трения L имел бы вид

$$L^* = T - \Pi = \frac{1}{2} m \dot{x}^2 + \frac{1}{2} cx^2.$$

Как мы видим $L^* \neq L(t)$, соответственно энергия такой системы сохраняется. Мы же рассматриваем систему с вязким трением, которая в пределе с $\beta \rightarrow 0$ приходила бы к $L = L^*$ так что будем искать L вида

$$L = f(t) \cdot L^*.$$

В таком случае

$$\frac{d}{dt} \frac{\partial L}{\partial \dot{q}} - \frac{\partial L}{\partial q} = f(t)m\ddot{x} + \underbrace{\dot{f}(t)m\dot{x}}_{=f(t)\beta} + f(t)cx = 0 \quad \Leftrightarrow \quad m\ddot{x} + \beta \dot{x} + cx = 0.$$

Воплощая в жизнь стремление сократить уравнение на $f(t)$ находим, что

$$\frac{d}{dt} f(t) = \frac{\beta}{m} f(t), \quad \Rightarrow \quad f(t) = \exp\left(\frac{\beta}{m} t\right).$$

Тогда уравнение движения осциллятора с вязким трением можно записать, как уравнение лагранжа второго рода, для лагранжаиана

$$L(x, t) = \exp\left(\frac{\beta}{m} t\right) \cdot \frac{1}{2} (m\dot{x}^2 + cx^2). \quad (2.15)$$

12.82

Знаем, что символ Кристофеля

$$\Gamma_{i,kl} = \frac{1}{2} \left(\frac{\partial g_{li}}{\partial q^k} + \frac{\partial g_{ki}}{\partial q^l} - \frac{\partial g_{kl}}{\partial q^i} \right).$$

Кинетическая энергия склерономной системы в обобщенных координатах запишется как

$$T = \frac{1}{2} g_{ij} \dot{q}^i \dot{q}^j.$$

Хотелось бы в терминах сивола Кристофеля записать уравнения Лагранжа

$$\frac{d}{dt} \frac{\partial T}{\partial \dot{q}^i} - \frac{\partial T}{\partial q^i} = Q_i.$$

Для начала найдём

$$\frac{\partial T}{\partial q^k} = \frac{1}{2} \dot{q}^i \dot{q}^j \frac{\partial g_{ij}}{\partial q^k}.$$

Теперь

$$\frac{\partial T}{\partial \dot{q}^k} = \frac{1}{2} g_{ij} \left(\dot{q}^j \delta_k^i + q \delta^i \delta_k^j \right) = g_{kj} \dot{q}^j.$$

Дифференцируя по времени, получим

$$\frac{d}{dt} \frac{\partial T}{\partial \dot{q}^k} = g_{kj} \ddot{q}^j + \dot{q}^j \left(\frac{\partial g_{kj}}{\partial q^i} \frac{dq^i}{dt} \right) = g_{kj} \ddot{q}^j + \frac{\partial g_{kj}}{\partial q^i} \dot{q}^j \dot{q}^i.$$

Теперь заметим, что

$$\dot{q}^i \dot{q}^j \frac{\partial g_{kj}}{\partial q^i} = \dot{q}^j \dot{q}^i \frac{\partial g_{ki}}{\partial q^j}.$$

Тогда

$$Q_k = g_{kj} \ddot{q}^j + \frac{1}{2} \dot{q}^j \dot{q}^i \left(\frac{\partial g_{jk}}{\partial q^i} + \frac{\partial g_{ik}}{\partial q^j} - \frac{\partial g_{ij}}{\partial q^k} \right), \quad \Rightarrow \quad \boxed{g_{kj} \ddot{q}^j + \Gamma_{k,ij} \dot{q}^j \dot{q}^i = Q_k}. \quad (2.16)$$

2.11 Принцип Гамильтона-Остроградского

21.7

Запишем лагранжиан системы

$$L = T - \Pi = \frac{1}{2} m \dot{x}^2 + \frac{1}{2} m x^2 \omega^2.$$

В условиях сказано, что $\omega = \omega(t)$ – для простоты уравнений будем считать $\omega = \text{const}$.

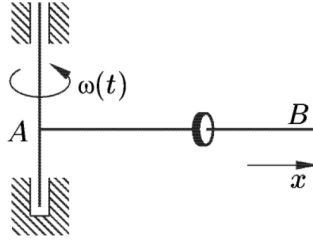


Рис. 8: К задаче 21.7

Действие тогда

$$S = \int_{t_1}^{t_2} L dt, \quad \Rightarrow \quad \delta S = m \dot{x} \delta x \Big|_{t_1}^{t_2} + m \int_0^t (-\ddot{x} + x \omega^2) \delta x dt = 0.$$

Так приходим к

$$\ddot{x} = \omega^2(t) x, \quad \Rightarrow \quad x = A e^{\omega t} + B e^{-\omega t}.$$

Рассмотрим движение от (x_1, t_1) до (x_2, t_2) , получим СЛУ:

$$\begin{cases} x_1 = A e^{\omega t_1} + B e^{-\omega t_1} \\ x_2 = A e^{\omega t_2} + B e^{-\omega t_2} \end{cases} \quad \Rightarrow \quad \det = e^{\omega(t_1 - t_2)} - e^{-\omega(t_1 - t_2)} \neq 0, \quad \text{при } t \neq \text{const},$$

что соответствует существованию единственного решения у уравнения.

21.14 и 20.15

Точка массы m може двигаться по гладкой вертикальной плоскости xz , вращающейся вокруг вертикальной оси Oz с постоянной угловой скоростью ω .

Лагранжиан системы

$$L = \frac{1}{2} m (\dot{x}^2 + \dot{z}^2) + \frac{1}{2} m x^2 \omega^2. \quad (2.17)$$

Вариация действия

$$\delta S = m \int_A^B (\dot{x}\delta x + \dot{z}\delta z + \omega^2 x\delta x - g\delta z) dt.$$

Посмотрим на действие

$$\begin{aligned} S &= \int_A^B L(x + \delta x, z + \delta z, t) dt = \\ &= \int_A^B L(x, z, t) dt + \underbrace{m \int_A^B \dot{x}\delta\dot{x} + \dot{z}\delta\dot{z} + \omega^2 x\delta x - g\delta z dt}_{\delta S(L(x,z,t))=0} + \frac{1}{2}m \int_A^B (\delta\dot{x})^2 + (\delta\dot{z})^2 + \omega^2(\delta x)^2 dt, \quad \text{Q.E.D.} \end{aligned}$$

21.35

Хотелось бы от действия S вида

$$S = \int_A^B L dt, \quad L = T - \Pi = \frac{1}{2}p_i\dot{q}^i - \Pi$$

к действию (или *укороченному действию*) $\delta S^* = 0$, где S^* вида

$$S^* = \int_A^B n ds, \quad (2.18)$$

где под интегрирование от A до B подразумевается интегрирование уравнение от состояния в точке A до состояния в точке B . Можно было бы сразу получить ответ из принципа Мопертюи, так что давайте его выведем.

Перейдём к энергии системы, как функции p и q , где $p_i = \partial L / \partial \dot{q}^i$ – обобщенный импульс. Тогда

$$dS = L dt = (p_i \dot{q}^i - H) dt \Rightarrow S = S_0 - H \cdot (t_B - t_A), \quad (2.19)$$

так как мы рассматриваем аналогию с консервативной системой, то есть $\dot{H} = 0$. Величина S_0 – *укороченное действие*,

$$S_0 = \int_A^B p_i \dot{q}^i dt = 2 \int_A^B (H - \Pi) dt.$$

Найдём dt , как

$$dt = \frac{ds}{v}, \quad v^2 = 2(H - \Pi)/m \Rightarrow dt = \frac{ds}{\sqrt{2(H - \Pi)/m}}.$$

Собирая всё вместе, получаем

$$S_0 = \int_A^B \sqrt{2m(H - \Pi)} ds.$$

Вернёмся к варьированию. Если допускать варьирование конечного момента времени, то

$$\delta S = \frac{\partial S}{\partial t} \delta t = -H \delta t, \quad \Rightarrow \quad \delta S + H \delta t = 0. \quad (2.20)$$

Подставляя (2.19) в (2.20), получим, что

$$\delta S_0 = 0, \quad \Rightarrow \quad \delta \left(\int_A^B \sqrt{2m(H - \Pi)} ds \right) = 0. \quad (2.21)$$

Сравнивая полученное выражение с (2.18), полагая $m = 1$, находим

$$\Pi = -\frac{n^2}{2} + H. \quad (2.22)$$

T17.

Рассмотрим движение точки по цилиндру радиуса r_0 . Тогда L

$$L = T - \Pi = T = \frac{1}{2}mv^2 = \frac{1}{2}m\dot{q}_i\dot{q}^i = \frac{1}{2}mg_{ij}\dot{q}^i\dot{q}^j = r_0^2\dot{\varphi}^2 + \dot{z}^2.$$

Тогда вариация действия для системы (свободной материальной точки)

$$\frac{d}{dt}(\dot{x}\delta x) = \dot{x}\delta x + \dot{x}\delta\dot{x} \Rightarrow \delta S = m \int_A^B (r_0^2\dot{\varphi}\delta\varphi + \dot{z}\delta\dot{z}) dt = m(r_0^2\dot{\varphi}\delta\varphi + \dot{z}\delta z) \Big|_A^B + \int_A^B (-r_0^2\ddot{\varphi}\delta\varphi - \ddot{z}\delta z) dt = 0.$$

Вариация на A и B тождественно равна 0, в силу произвольности δz и $\delta \varphi$ получаем, что

$$\begin{cases} \ddot{\varphi} = 0, \\ \dot{z} = 0 \end{cases} \Rightarrow \begin{cases} \varphi = C_1 t + C_2 \mod 2\pi, \\ z = C_3 t + C_4. \end{cases}$$

так как в силу выбора φ верно, что $\varphi + 2\pi k = \varphi \quad \forall k \in \mathbb{Z}$. В таком случае

$$C_1 = \frac{\varphi_B - \varphi_A}{t_B - t_A} + \frac{2\pi}{t_B - t_A} k, \quad \forall k \in \mathbb{Z},$$

таким образом для свободной материальной точки существует счётное количество истинных путей для перемещения из A в B за фиксированное время $t_B - t_A$.

T18. (I)

Пусть в точках (x_1, y_1) и (x_2, y_2) закреплена цепь с линейной плотностью ρ и массой M . Для цепной линии сначала найдём центр масс y_0 :

$$y_0 = \frac{1}{M} \int_{x_1}^{x_2} y \cdot \underbrace{\rho \sqrt{1 + (y'_x)^2} dx}_{dm}.$$

Лагранжиан системы

$$L = T - \Pi = Mg \cdot y_0.$$

В силу независимости L от t верно, что

$$\delta S = \delta \left(\int_{t_1}^{t_2} L dt \right) = 0, \quad \Rightarrow \quad \delta L = 0, \quad \Rightarrow \quad \delta \left(\int_{x_1}^{x_2} \underbrace{y \sqrt{1 + (y'_x)^2} dx}_{F(x)} \right) = 0, \quad (2.23)$$

что позволяет нам решать немного другую задачу.

Мы знаем, что на \dot{q}, q равносильны следующие условия

$$\frac{d}{dt} \frac{\partial L(\dot{q}, q, t)}{\partial \dot{q}^i} - \frac{\partial L}{\partial q} = 0, \quad \Leftrightarrow \quad \delta \left(\int_{t_1}^{t_2} L(\dot{q}, q, t) dt \right) = 0,$$

при фиксированной длине нити l равной

$$l = \int_{x_1}^{x_2} \underbrace{\sqrt{1 + \dot{y}^2}}_{\varphi(x)} dx, \quad (2.24)$$

где $y'_x = \dot{y}$ (здесь и далее). Тогда введём¹ L^*

$$L^*(y, x) = F(x) - \lambda \varphi(x), \quad (2.25)$$

для которого верно, что

$$\delta \left(\int_{x_1}^{x_2} L^*(y, \dot{y}, x) dx \right) = 0 \quad \Leftrightarrow \quad \frac{d}{dx} \frac{\partial L^*}{\partial \dot{y}} - \frac{\partial L^*}{\partial x} = 0. \quad (2.26)$$

Формально мы перешли к решению изопериметрической задачи. Для удобства переобозначим $L^* = L$. Посмотрим на $\partial L / \partial \dot{y} = L_{\dot{y}}$:

$$dL_{\dot{y}}(y, \dot{y}) = \frac{\partial L_{\dot{y}}}{\partial y} dy + \frac{\partial L_{\dot{y}}}{\partial \dot{y}} d\dot{y}, \quad \Rightarrow \quad \frac{d}{dx} \frac{\partial L}{\partial \dot{y}} - \frac{\partial L}{\partial y} = L_{\dot{y}, y} \dot{y} + L_{\dot{y}, \dot{y}} \ddot{y} - L_y = 0.$$

Домножив на $(-\dot{y})$ получим, как видно, полный дифференциал \smile

$$\underbrace{\frac{\partial L}{\partial y} \frac{dy}{dx} + \frac{\partial L}{\partial \dot{y}} \frac{d\dot{y}}{dx} - \left(\frac{\partial L}{\partial \dot{y}} \ddot{y} + \dot{y} \left[\frac{\partial L_{\dot{y}}}{\partial y} \dot{y} + \frac{\partial L_{\dot{y}}}{\partial \dot{y}} \ddot{y} \right] \right)}_{\text{прибавил/вычел}} = \frac{d}{dx} \left(L - \dot{y} \frac{\partial L}{\partial \dot{y}} \right),$$

откуда (2.26) может быть переписано, как

$$L - \dot{y} \frac{\partial L}{\partial \dot{y}} = C_1,$$

то есть да, «энергия» сохраняется, x же явно не входит в L^* .

Конкретно в нашем случае,

$$(y + \lambda) \sqrt{1 + \dot{y}^2} - \dot{y}(y + \lambda) \frac{\dot{y}}{\sqrt{1 + \dot{y}^2}} = C_1, \quad \Rightarrow \quad y + \lambda = C_1 \sqrt{1 + \dot{y}^2}.$$

¹О причинах такого решения см. метод решения изопериметрической задачи.

Как известно **синус** замечателен: $1 + \operatorname{sh}^2 \varkappa = \operatorname{ch}^2 \varkappa$, так что пусть $\dot{y} = \operatorname{sh} \varkappa$. Тогда

$$y = C_1 \operatorname{ch} \varkappa - \lambda.$$

Подставив друг в друга последних два выражения, найдём

$$\dot{y} = \frac{dy}{d\varkappa} \cdot \frac{d\varkappa}{dx} = C_1 \frac{d\varkappa}{dx} \operatorname{sh} \varkappa, \quad \Rightarrow \quad x = C_1 \varkappa + C_2.$$

Таким образом мы получаем *уравнение цепной линии*

$$\boxed{y = C_1 \operatorname{ch} \frac{x - C_2}{C_1} - \lambda.} \quad (2.27)$$

Константы могут быть найдены из граничных условий $y(x_1) = y_1$, $y(x_2) = y_2$ и интеграла (2.24):

$$\operatorname{sh} \frac{x_2 - C_2}{C_1} - \operatorname{sh} \frac{x_1 - C_2}{C_1} = \frac{l}{C_1}.$$

T18. (II)

Найдём траекторию светового луча в среде с показателем преломления

$$n(z) = n_0 + n_z z.$$

Согласно принципу Ферма, введя $(ds)^2 = (dr)^2 + (dz)^2$, считая $dz/dr = \dot{z}$

$$\delta \left(\int_A^B (n_0 + n_z z) ds \right) = 0, \quad \Rightarrow \quad \delta \left(\int_A^B z \sqrt{1 + \dot{z}^2} dr + \frac{n_0}{n_z} l \right) = 0,$$

где

$$l = \int_A^B \sqrt{1 + \dot{z}^2} dr.$$

Вспомнив (2.25) и (2.24), поймём, что решаем изопериметрическую задачу, которую уже решили в предыдущем пункте, решением является траектория по цепной линии, с $\lambda = -n_0/n_z$:

$$z(r) = \frac{n_0}{n_z} + C_1 \operatorname{ch} \frac{r - C_2}{C_1}, \quad (2.28)$$

где C_1 и C_2 определяются из начальных условий².

T19.

Пока не готово.

2.12 Равновесие. Принцип виртуальных перемещений.

14.37

Переёдем в СО, вращающуюся с ω , соответственно хочется ввести потенциальное поле для сил инерции и гравитационных.

$$dF_{\text{и. г.}} = \omega^2 x dm, \quad \Rightarrow \quad d\Pi_{\text{и}} = -\frac{1}{2} \omega^2 x^2 dm.$$

Тогда потенциал

$$\Pi_{\text{г},1} = -\frac{m}{l} \int_0^{l \sin \varphi} \frac{1}{2} \omega^2 x^2 dx = -\frac{m_1 l^2}{6} \omega^2 \sin^2 \varphi.$$

$$\Pi_{\text{г},2} = -\frac{m_2 l^2}{6} \omega^2 \sin^2 \varphi.$$

Полная энергия системы:

$$\Pi = -gl \cos \varphi \left(m_1 + \frac{3}{2} m_2 \right) - \frac{1}{6} \omega^2 l^2 \sin^2 \varphi (m_1 + m_2).$$

Найдём стационарные точки потенциала

$$\frac{\partial E}{\partial \varphi} = \frac{1}{2} gl \sin \varphi (m_1 + 3m_2) - \frac{1}{3} \omega^2 l^2 \sin \varphi \cos \varphi (m_1 + m_2) = 0.$$

²Предполагая, что мы хотим пустить луч от точки (z_1, r_1) к (z_2, r_2) , мы сможем сделать это единственным образом, это и задаст C_1 и C_2 .

Находим положения равновесия:

$$\sin \varphi^* = 0, \quad \Rightarrow \quad \varphi^* = 0, \pi.$$

При условии, что rhs следующего уравнения ≤ 1 , найдём также

$$\cos \varphi^* = \frac{2g(m_1 + 3m_2)}{2\omega^2(m_1 + m_2)}, \quad \omega^2 \geq \frac{3g(m_1 + 3m_2)}{2l(m_1 + m_2)}.$$

14.20

Перейдём в СО точки подвеса. В таком случае можно ввести потенциальное поле, гравитационного поля

$$\mathbf{g}' = \mathbf{g} - \mathbf{w}.$$

Положение равновесия соответствует минимуму потенциала, соответственно наименьший $h_{\text{ц. м.}}$ относительно \mathbf{g}' . В таком случае при $\mathbf{w} \parallel \mathbf{g}$ ниточка останется висеть вертикально. При $\mathbf{g} \nparallel \mathbf{w}$, вводя начало координат в точку подвеса

$$y = x \frac{g - w \sin \alpha}{w \cos \alpha}, \quad a \neq \frac{\pi}{2} + \pi k. \quad (2.29)$$

14.34

Система движется в потенциальном поле с удерживающей связью:

$$\Pi = \sum_{k=1}^n \alpha_k q_k, \quad \sum_{k=1}^n \alpha_k^2 > 0, \quad \sum_{k=1}^n q_k^2 - 1 \leq 0.$$

Можно было решить задачу на условный экстремум, введя функцию F :

$$f = \sum_{k=1}^n \alpha_k q_k - \lambda \left(\sum_{k=1}^n q_k^2 - 1 \right).$$

А можно посмотреть на n -мерную сферу, которой ограничено положение системы на координатном пространстве. Действующая сила тогда

$$\frac{\partial \Pi}{\partial q^i} = F_i = \alpha_i, \quad \Rightarrow \quad \mathbf{F} = (\alpha_1, \dots, \alpha_n)^T.$$

Уравнение для сферы

$$\sum q_i^2 = 1.$$

Нас интересует момент, когда радиус вектор сонаправлен с \mathbf{F} , пусть $\mathbf{r} = k\mathbf{F}$.

$$(k\alpha_1)^2 + \dots + (k\alpha_n)^2 = 1, \quad \Rightarrow \quad k = \left(\sum_{k=1}^n \alpha_k^2 \right)^{-1/2}.$$

Соответственно искомое положение равновесия

$$\mathbf{r} = \left(\sum_{k=1}^n \alpha_k^2 \right)^{-1/2} (\alpha_1, \dots, \alpha_n)^T. \quad (2.30)$$

14.41

Материальная точка может двигаться по линии пересечения двух плоскостей:

$$\begin{cases} \text{I:} & -2x_1 + x_2 + x_3 = t \\ \text{II:} & x_1 - 2x_2 + x_3 = -t^2. \end{cases}$$

Найдём систему бесконечно малых возможных перемещений. Знаем, что направляющая прямой,

$$\mathbf{n}_I \times \mathbf{n}_{II} = \begin{pmatrix} -2 \\ 1 \\ 1 \end{pmatrix} \times \begin{pmatrix} 1 \\ -2 \\ 1 \end{pmatrix} = 3 \begin{pmatrix} 1 \\ 1 \\ 1 \end{pmatrix}, \quad \Rightarrow \quad \mathbf{a} = \begin{pmatrix} 1 \\ 1 \\ 1 \end{pmatrix}.$$

Хотелось бы найти уравнения прямой, в виде

$$\mathbf{r} = \mathbf{r}_0 + \mathbf{a}k.$$

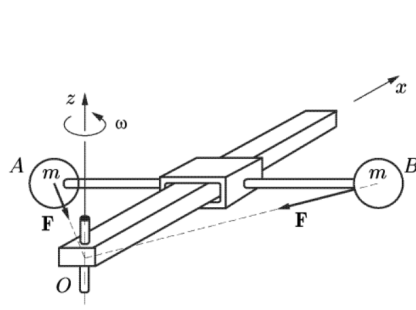


Рис. 9: К задаче 15.5

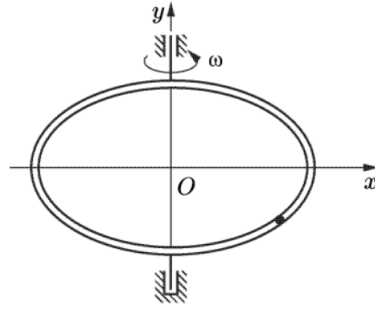


Рис. 10: К задаче 15.9

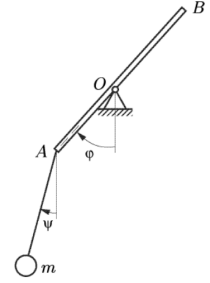


Рис. 11: К задаче 15.13

Подставляя \mathbf{a} в уравнения плоскости, найдём, что

$$x_0 = \frac{1}{3}t(t-2), \quad y_0 = \frac{1}{3}t(2t-1), \quad z_0 = 0.$$

Тогда

$$\mathbf{r} = \frac{t}{3} \begin{pmatrix} t-2 \\ 2t-1 \\ 0 \end{pmatrix} + k \begin{pmatrix} 1 \\ 1 \\ 1 \end{pmatrix}, \quad \Rightarrow \quad \frac{\partial \mathbf{r}}{\partial t} = \frac{1}{3} \begin{pmatrix} 2t-2 \\ 4t-1 \\ 0 \end{pmatrix}, \quad \frac{\partial \mathbf{r}}{\partial k} = \begin{pmatrix} 1 \\ 1 \\ 1 \end{pmatrix}.$$

В таком случае возможные перемещения:

$$\delta \mathbf{r} = \begin{pmatrix} 1 \\ 1 \\ 1 \end{pmatrix} \delta k, \quad d\mathbf{r} = \delta \mathbf{r} + \frac{\partial \mathbf{r}}{\partial t} dt = \begin{pmatrix} 1 \\ 1 \\ 1 \end{pmatrix} \delta k + \frac{1}{3} \begin{pmatrix} 2t-2 \\ 4t-1 \\ 0 \end{pmatrix} dt.$$

2.13 Устойчивость равновесия консервативных систем.

15.5

Перейдём в СО, вращающуюся вместе с телом. В таком случае в уравнениях «возникнут» силы инерции. Ввиду того что $\boldsymbol{\omega} \perp \mathbf{r}$ запишем

$$\mathbf{F}_и = m\boldsymbol{\omega} \times \boldsymbol{\omega} \times (\mathbf{r} + \mathbf{l}) + m\boldsymbol{\omega} \times \boldsymbol{\omega} \times (\mathbf{r} - \mathbf{l}) = 2m\boldsymbol{\omega} \times \boldsymbol{\omega} \times \mathbf{r} = 2m\omega^2 \mathbf{r}.$$

Тогда добавка к потенциалу системы будет

$$\Pi_и = -\omega^2 r^2 m.$$

Силы между гантелями и стержнем аналогичны потенциалу

$$\Pi_g = -\frac{\alpha m}{\rho} \times 2, \quad \rho = \sqrt{r^2 + l^2},$$

где r – расстояние от центра до стержня.

Запишем теперь потенциал системы

$$\Pi = -\frac{2\alpha m}{\rho} - \omega^2 r^2 m.$$

Найдём стационарные точки потенциала

$$\frac{\partial \Pi}{\partial r} = \frac{2\alpha m r}{(r^2 + l^2)^{3/2}} - 2\omega^2 r m = 2mr \left(\frac{\alpha}{(r^2 + l^2)^{3/2}} - \omega^2 \right) = 0 \quad \Rightarrow \quad \begin{cases} r_1^* = \sqrt{(\alpha/\omega^2)^{2/3} - l^2}, & \omega^2 l^3 < \alpha, \\ r_2^* = 0. \end{cases}$$

И определим локальные экстремумы потенциала

$$\frac{\partial^2 \Pi}{\partial r^2}(r) = 2m \left(\frac{\alpha}{(r^2 + l^2)^{3/2}} - \frac{\alpha r^2}{(r^2 + l^2)^{5/2}} - \omega^2 \right) ..$$

При $r = r_2^*$ верно, что

$$\frac{\partial^2 \Pi}{\partial r^2}(0) = \frac{2\alpha}{l^3} - 2\omega^2, \quad \Rightarrow \quad \begin{cases} r^* = 0 - \text{устойчиво при} & \omega^2 l^3 < \alpha, \\ r^* = 0 - \text{неустойчиво при} & \omega^2 l^3 > \alpha. \end{cases}$$

Чуть сложнее для $r = r_1^*$, заметим, что случай реализуется только при $\omega^2 l^3 < \alpha$:

$$\frac{\partial^2 \Pi}{\partial r^2}(r_1^*) = \underbrace{(\dots)}_{>0} \left(\alpha^{-2/3} \omega^{4/3} l^2 - 1 \right), \quad a^{-2/3} < \omega^{-4/3} l^{-2} \Rightarrow \frac{\partial^2 \Pi}{\partial r^2}(r_1^*) < 0.$$

Таким образом $r = r_1^*$ – неустойчивое положение равновесия.

15.9

Параметризуем систему некоторым φ таким, что

$$\begin{cases} x = a \sin \varphi \\ y = b \cos \varphi \end{cases} \Rightarrow \frac{x^2}{a^2} + \frac{y^2}{b^2} = 1.$$

Аналогично предыдущим задачам считаем, что движение происходит в поле потенциальных сил (инерции и гравитации):

$$\Pi_g = mgy = mgb \cos \varphi, \quad \Pi_n = -\frac{1}{2} m \omega^2 x^2 = -\frac{1}{2} m \omega^2 a^2 \sin^2 \varphi.$$

Далее полагая $m = 1$, найдём стационарные точки потенциала

$$\frac{\partial \Pi}{\partial \varphi} = \sin \varphi \frac{1}{\omega^2 a^2} \left(\cos \varphi + \frac{bg}{\omega^2 a^2} \right) = 0, \quad \Rightarrow \quad \begin{cases} \sin \varphi^* = 0 \\ \cos \varphi^* = -\frac{bg}{\omega^2 a^2}, \quad bg < \omega^2 a^2 \end{cases}$$

и определим локальные экстремумы потенциала

$$\frac{\partial^2 \Pi}{\partial \varphi^2} = \omega^2 a^2 (1 - 2 \cos^2 \varphi) - bg \cos \varphi.$$

Для $\sin \varphi^* = 0$ и, соответственно, $\cos \varphi = \pm 1$, найдём, что

$$\frac{\partial^2 \Pi}{\partial \varphi^2}(\varphi^*) = -\omega^2 a^2 \mp bg, \quad \Rightarrow \quad \begin{cases} (0, b) & - \text{неустойчиво при } \omega^2 a^2 < bg, \\ (0, -b) & - \text{устойчиво при } \omega^2 a^2 < bg, \\ (0, \pm b) & - \text{неустойчиво при } \omega^2 a^2 > bg. \end{cases}$$

Для $\cos \varphi^* = -bg/\omega^2 a^2$, и соответствующего $\sin \varphi^*$ найдём, что при $\omega^2 a^2 > gb$

$$\frac{\partial^2 \Pi}{\partial \varphi^2}(\varphi^*) = \left(1 + \frac{bg}{\omega^2 a^2} \right) (\omega^2 a^2 - bg), \quad \Rightarrow \quad \left(\pm a \sqrt{1 - \frac{g^2 b^2}{\omega^4 a^4}}, -b \frac{gb}{\omega^2 a^2} \right) - \text{устойчивые.}$$

15.13

Запишем потенциал поля гравитационных сил:

$$\Pi = \frac{1}{2} \frac{l_2}{l_1 + l_2} Mgl_2 - \frac{1}{2} \frac{l_1}{l_1 + l_2} Mgl_1 - (l_1 \cos \varphi + l \cos \psi) mg.$$

Заметим, что в Π независимо входит $\cos \psi$, в силу $\Pi \rightarrow \min$ имеет, что $\cos \psi = 1$, $\psi = 0$. Так как связь односторонняя, то невозможно значение $\psi = \pi$. Далее будем решать одномерную задачу.

Найдём стационарные точки потенциала

$$\frac{\partial \Pi}{\partial \varphi} = \frac{1}{2} \frac{Mg}{l_1 + l_2} (\sin \varphi) \left(-l_2^2 + l_1^2 + 2l_1(l_1 + l_2) \frac{m}{M} \right), \quad \Rightarrow \quad \begin{cases} \sin \varphi^* = 0 \\ 2ml_1 = M(l_2 - l_1) \quad \forall \varphi \text{ система равновесна.} \end{cases}$$

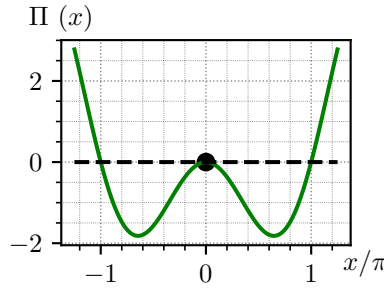
И определим локальные экстремумы

$$\frac{\partial^2 \Pi}{\partial \varphi^2} = \underbrace{(\dots)}_{>0} (\cos \varphi) (M(l_1 - l_2) + 2l_1 m), \quad \Rightarrow \quad \begin{cases} \varphi = 0 - \text{устойчиво при } 2ml_1 > M(l_2 - l_1) \\ \varphi = \pi - \text{устойчиво при } 2ml_1 < M(l_2 - l_1) \end{cases}$$

и соответствующие положения равновесия неустойчивы при обратных знаках в неравенствах.

15.23

Начнём с того, что условие не корректно. Действительно, давайте посмотрим на близкие к 0 положения равновесия системы с потенциалом $\Pi(x) = -x \sin x$. В точке $x = 0$ существует неустойчивое положение равновесия, однако посмотрим на развитие системы из точки $\{-\pi - \delta, 0\}$, увидим, что на фазовой плоскости

Рис. 12: График $\Pi(x) = -x \sin x$

существует замкнутая орбита (сплюснутая в середине), содержащая $x = 0$. Поэтому докажем, что при наличие устойчивого равновесия, существует замкнутая кривая на фазовой плоскости.

Также хотелось бы что-то сказать при наличие замкнутой траектории о положении равновесия. Можно показать, что при отсутствие других положений равновесия в этой области положение равновесия будет устойчивым. Аналогично можно считать, что положение равновесия устойчиво только если для любой U_ε окрестности существует замкнутая траектория вложенная в U_ε и содержащая точку.

Так как сила $F = F(x)$ и $F(x)$ гладкая, то всегда можно ввести потенциал такой, что

$$-\frac{\partial \Pi(x)}{\partial x} = F(x) = \ddot{x}.$$

Также можно считать, что энергия системы сохраняется, то есть

$$E = \Pi(x) + \frac{1}{2} \dot{x}^2 = \text{const}.$$

Пусть есть устойчивое положение равновесия x^* , тогда мы знаем, что

$$-\frac{\partial \Pi}{\partial x}(x^*) = 0, \quad \frac{\partial^2 \Pi}{\partial x^2}(x^*) > 0.$$

Тогда возьмём в качестве крайних точек нашей траектории $x_1 = x^* - \delta_1$ и в качестве $x_2 = x^* + \delta_2$, где δ_i — достаточно малая величина, чтобы $x' \notin U_\delta(x^*)$, x' — другое положение равновесия/точка перегиба потенциала. Выберем δ_1, δ_2 так, чтобы

$$\Pi(x^* - \delta_1) = \Pi(x^* + \delta_2).$$

Тогда поместив с 0 скоростью точку x_1 получим замкнутую орбиту $[x_1, x_2]$.

В другую сторону, пусть есть некоторая замкнутая орбита на $[x_1, x_2]$. Тогда верно, что

$$T(x_1) = T(x_2) = 0, \quad -\frac{\partial \Pi}{\partial x}(x_1) > 0, \quad -\frac{\partial \Pi}{\partial x}(x_2) < 0.$$

Тогда по непрерывности $\Pi(x)$ существует x^* такой, что $\partial \Pi(x^*)/\partial x = 0$, при чём, так как это единственная точка перегиба потенциала в $[x_1, x_2]$, то $\partial^2 \Pi/\partial x(x^*) > 0$, Q. E. D.